

Loop-Shaping Controller Design

$$1) G_f = 1/(K_d * G_s) \quad \text{nu} + p > 0$$

$$L = G_c(s) * G_p(s) * G_a * G_s * G_f \quad \text{-traduco le funz in s-}$$

$$s \rightarrow 0 \rightarrow \{G_p = K_p/s^p; G_c = K_c/s^u\}$$

Funzione di trasferimento del controllore

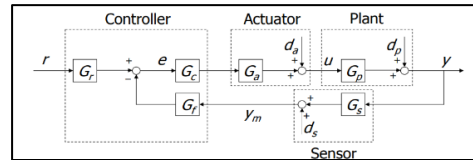
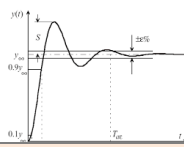
$$G_c(s) = \frac{K_c}{s^v} \prod_i \left(\frac{1 + \frac{s}{z_{di}}}{1 + \frac{s}{m_{di} z_{di}}} \right) \prod_j \left(\frac{1 + \frac{s}{m_{ij} p_{ij}}}{1 + \frac{s}{p_{ij}}} \right)$$

LEAD NETWORK LAG NETWORK

$$K_c = \lim_{s \rightarrow 0} s^v G_c(s) \quad 2) K_p = \lim_{s \rightarrow 0} s^p G_p(s)$$

verificare prima che

$$\frac{1}{G_s G_f} = K_d$$



$$S(s) = \frac{1}{1+L}$$

$$T(s) = \frac{L}{1+L}$$

$$\lim_{t \rightarrow \infty} x(t) = \lim_{s \rightarrow 0} s \cdot X(s)$$

$$\lim_{k \rightarrow \infty} x(k) = \lim_{z \rightarrow 1} (z-1) \cdot X(z)$$

$$r(t) = R_0 \cdot \frac{t^h}{h!} \rightarrow r(s) = \frac{R_0}{s^{h+1}}$$

Specifiche di progetto - Regime permanente (Robustezza)

Inseguimento di segnali polinomiali in regime permanente

$$\begin{cases} 0 \leftarrow (v + p > h) \\ \frac{K_d^2 R_0}{\beta K_d + K_c K_p G_a} \leftarrow (v + p = h) \end{cases}$$

where $\beta = 1$ (if $v + p = 0$)

v_{max} che soddisfa tutte le specifiche
 $|K_c|$ relativo a v che soddisfa tutto

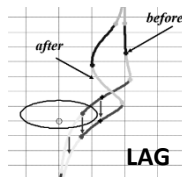
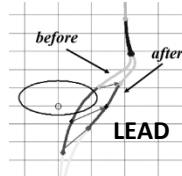
$$G_{dpy}(s) = S(s)$$

$$G_{day}(s) = G_p(s) \cdot S(s)$$

Attenuazione di disturbi polinomiali in regime permanente

$$|e_{\infty}^{d_p}| = \left| \lim_{t \rightarrow \infty} e_{d_p}(t) \right| = \left| \lim_{s \rightarrow 0} y_{d_p}(s) \right| = \left| \lim_{s \rightarrow 0} s G_{dpy}(s) d_p(s) \right|$$

$$|e_{\infty}^{d_a}| = \left| \lim_{t \rightarrow \infty} e_{d_a}(t) \right| = \left| \lim_{s \rightarrow 0} y_{d_a}(s) \right| = \left| \lim_{s \rightarrow 0} s G_{day}(s) d_a(s) \right|$$



$d_c = a_c \sin(\omega t)$ ($\log \omega_s, M_{T,dB}^{HF}$) e ($\log \omega_H, 0$)	$d_p = a_p \sin(\omega t)$ ($\log \omega_p, M_{S,dB}^{LF}$) e ($\log \omega_L, 0$)
$ T(j\omega_s) \leftarrow M_T^{HF} = \frac{\rho_s G_s}{a_s}$	$ S(j\omega_p) \leftarrow M_S^{LF} = \frac{\rho_p}{a_p}$
$\omega_H = \omega_s 10^{\frac{M_{T,dB}^{HF}}{40}}$	$\omega_L = \omega_p 10^{\frac{M_{S,dB}^{LF}}{40}}$
$\omega_c \in \left[2\omega_L, \frac{\omega_H}{2} \right]$	

Attenuazione di disturbi sinusoidali

$$|e_{\infty}^{d_s}| = |G_{dpy}(j\omega_s) a_s \sin(\omega t + \varphi_s)| \leq |T(j\omega_s)| \leq \frac{\rho_s G_s}{a_s}$$

$$|e_{\infty}^{d_p}| = |G_{day}(j\omega_p) a_p \sin(\omega t + \varphi_p)| \leq |S(j\omega_p)| \leq \frac{\rho_p}{a_p}$$

Prototipo II ordine

$$T(s) = \frac{1}{1 + \frac{2\zeta}{\omega_n} s + \frac{s^2}{\omega_n^2}}$$

$$[m, p] = \text{bode}(S, \omega_c)$$

$$[m, p] = \text{nichols}(L, \omega_c)$$

$$\text{mygridst}(T_p, S_p)$$

$$\text{nyquist1}(\text{num}, \text{den})$$

Specifiche di progetto - Transitorio (Velocità)

$\zeta \geq \frac{ \ln(\delta\%) }{\sqrt{\pi^2 + \ln^2(\delta\%)}}$	$T_p \leq \frac{1}{2\zeta \sqrt{1 - \zeta^2}}$	$S_p \leq \frac{2\zeta \sqrt{2 + 4\zeta^2 + 2\sqrt{1 + 8\zeta^2}}}{\sqrt{1 + 8\zeta^2 + 4\zeta^2 - 1}}$	 N.B.: angoli in radianti!
$\omega_c \geq \max(\omega_c^{t_{s,\alpha\%}}, \omega_c^{t_r})$	$\omega_c^{t_{s,\alpha\%}} \geq \frac{-\frac{\ln \alpha\%}{\zeta} \cdot \sqrt{1 + 4\zeta^4 - 2\zeta^2}}{t_{s,\alpha\%}}$	$\omega_c^{t_r} \geq \frac{\frac{\pi - \cos^{-1}(\zeta)}{\sqrt{1 - \zeta^2}} \cdot \sqrt{1 + 4\zeta^4 - 2\zeta^2}}{t_r}$	

Progetto del controllore

$$\text{Lin} = (K_c/s^u) * G_p(s) * G_a * G_s * G_f$$

1. Studio del segno di K_c e stabilizzabilità

- Scelgo un segno e calcolo $L_{in}(s)$
- Tracciare il diagramma di Nyquist di $L_{in}(s)$, calcolo $P_{cl} = N + P_{ol}$:
 - P_{cl} pari \rightarrow Stabilizzabile
 - P_{cl} dispari \rightarrow cambio segno di K_c
- Scelgo K_c poco più grande del vincolo (se c'è)

$$P_{cl} = N + P_{ol}$$

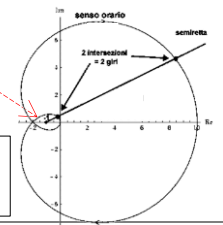
$$\text{Goal: } P_{cl} = 0$$

N: intersezioni semiretta

P_{ol} : poli $\text{Re}(p_i) > 0$ (di solito nullo)

senso orario $\rightarrow N+1$

senso antiorario $\rightarrow N-1$



2. Scelta di $\omega_{c,des}$ rispettando i vincoli imposti

3. Plot di $L_{in}(s)$ sul piano di Nichols e individuo $\omega_{c,des}$ scegliendo il tipo di azione da fare con le reti di compensazione per:

- portare la $\omega_{c,des}$ in corrispondenza di 0 dB
- portare il diagramma fuori dalla regione proibita

4. Simulare con **step**($T/(G_s * G_f)$, $\langle \#sec \rangle$) per assicurarsi di soddisfare le specifiche in transitorio. (Le altre su inseguimento e disturbi sono verificate se K_c e v sono OK).

5. Tracciare i diagrammi di Bode di T ed S per verificare che stiano sotto i relativi spigoli.

- Taglia spigolo T ? \rightarrow aggiungo un polo $(1 + s/\omega_s)^{-1}$
- Taglia spigolo S ? \rightarrow Alzo K_c

6. In caso di specifiche non soddisfatte si procede a compensare con un altro tipo di azione. (Attenzione **effetto coda**: massima fase usata per la rete zero o $\omega_{norm} \gg$ nella LAG (alzo un po' alla volta))

h	order 0 Step	order 1 Ramp	order 2 Parabola
0	$\frac{K_d^2 R_0}{K_d + K_p K_c G_a}$	∞	∞
1	0	$\frac{K_d^2 R_0}{K_p K_c G_a}$	∞
2	0	0	$\frac{K_d^2 R_0}{K_p K_c G_a}$

Tecniche di sintesi digitale

- $G_p(s) \rightarrow G_c(s) \rightarrow$ scelta $T_s \rightarrow G_c(z)$ (matched)
- $G'_p(s) = G_p(s) G_{ZOH}(s) \rightarrow$ come (1)
- $G_p(z) = \text{c2d}(G_p, T_s, 'zoh')$ scelta T_s in base a $\omega_{c,des}$
 - $\text{dnichols}(\text{Lin}_z)$ e per ogni rete
 - $R_d(s) \leftrightarrow R_d(z) \quad R_i(s) \leftrightarrow R_i(z) \quad R_z(s) \leftrightarrow R_z(z)$

Sistemi di controllo digitale

$$G_{ZOH}(s) = \frac{1 - e^{-T_s s}}{s} \approx \frac{T_s}{1 + \frac{s T_s}{2}}$$

$$\frac{0.1}{\omega_c} < T_s < \frac{0.2}{\omega_c}$$

$$Z = e^{s T_s}$$

Principali reti di compensazione

Soluzione	Formule utili	Alternativa
Rete LEAD aumento di modulo aumento di fase	$\omega_{norm} = \frac{\omega_{c,des}}{z_d}$	Rete ZERO Da usare solo nel caso in cui $v > 0$
Rete LAG diminuzione modulo	$m_i = 10^{\frac{R_{dB}}{20}} \quad \omega_{norm} = \frac{\omega_{c,des}}{p_i}$	Diminuzione di $ K_c $ Solo quando ho K_c libero ($ K_c = 1$)
Aumento di $ K_c $ aumento di modulo	$K_c = K_{c,in} 10^{\frac{ K_{c,dB}^{add} }{20}}$	$K_c = K_{c,in} 10^{\frac{- K_{c,dB}^{sub} }{20}}$

```
%progetto
Lin = minreal(zpk((Kc/s)*Gp*Ga*Gs*Gf));
%bodeplot(Lin)
figure(1)
[numLin,denLin] = tfdata(Lin,'v');
nyquist1(numLin,denLin)
```

```
figure(2)
mygridst(Tp,Sp)
nichols(Lin);
```

```
wc_des = 1.2;
%Zero network
wnorm_z = 90;
z = wc_des/wnorm_z;
Rz = (1+s/z);
```

```
%Lead network
wnorm_lead1 = 1.4;
md1 = 3;
Rd1 = (1+s/zd1)/(1+s/(md1*zd1));
```

```
%Lag network
wnorm_lag1 = 100; %final 500
pi1 = wc_des/wnorm_lag1;
mi1 = 10^(3/20); % final value 22dB
Ri1 = (1+s/(mi1*pi1))/(1+s/pi1);
```

```
L = Lin*Rz*Rd1;
nichols(L);
% Step response
T = minreal(zpk(L/(1+L)));
figure(3)
step(T/(Gf*Gs),15)
```

```
figure(4)
bodemag(T)
S = minreal(zpk(1/(1+L)));
figure(5);
bodemag(S);
```

Teoria dei Sistemi Dinamici

Sistemi LTI – Rappresentazione, stabilità, proprietà strutturali

Rappresentazione nello spazio di stato (descrizione completa)

$$\dot{x}(t) = f(x(t), u(t), t) \stackrel{\text{LTI TC}}{=} Ax(t) + Bu(t)$$

$$y(t) = g(x(t), u(t), t) \stackrel{\text{LTI TC}}{=} Cx(t) + Du(t)$$

$$\dot{x}(k+1) = f(x(k), u(k), k) \stackrel{\text{LTI TD}}{=} Ax(k) + Bu(k)$$

$$y(k) = g(x(k), u(k), k) \stackrel{\text{LTI TD}}{=} Cx(k) + Du(k)$$

S = ss(A,B,C,D)
 s=tf('s') z=tf('z')
 H = tf(s)
 phase = angle(z) mod=abs(z)
 [num, den] = tfdata(s, 'v')
 [R, P] = residue(num, den)
 minreal(zpk(s))
 rank(A)

Funzione di trasferimento (descr parziale: parte completamente osservabile e controllabile)

$$H(s) \triangleq \frac{Y(s)}{U(s)}_{x(0)=0} = C(sI - A)^{-1}B + D$$

$$H(z) \triangleq \frac{Y(z)}{U(z)}_{x(0)=0} = C(zI - A)^{-1}B + D$$

$(sI - A)^{-1}, (zI - A)^{-1}$ polinomio minimo
 $y(t) = y_{tr}(t) + y_{ss}(t)$ se il sistema è: **asintoticamente stabile** o **BIBO stabile + condizioni iniziali nulle**

Tavole L-transform:
 part 3 1 pag 9
 Tavole Z-transform:
 part 9 pag. 22-23

Soluzioni delle equazioni di stato

$$x(t) = x_{zi}(t) + x_{zs}(t) \quad x(k) = x_{zi}(k) + x_{zs}(k)$$

$X_{zi}(s) = (sI - A)^{-1}x(0)$	$X_{zs}(s) = (sI - A)^{-1}BU(s)$
$X_{zi}(z) = (zI - A)^{-1}x(0)$	$X_{zs}(z) = (zI - A)^{-1}BU(z)$
$y(t) = y_{zi}(t) + y_{zs}(t)$	$y(k) = y_{zi}(k) + y_{zs}(k)$
$Y_{zi}(s) = C(sI - A)^{-1}x(0)$	$Y_{zs}(s) = H(s)U(s)$
$Y_{zi}(z) = C(zI - A)^{-1}x(0)$	$Y_{zs}(z) = H(z)U(z)$

formule utili

contributo poli complessi e coniugati (TC) $2 R e^{Re(p_i)t} \cdot \cos(Im(p_i)t + \angle R)$	$\mathcal{L}\left\{\frac{t^n e^{-\lambda t}}{n!}\right\} = \frac{1}{(s + \lambda)^{n+1}}$
contributo poli complessi e coniugati (TD) $2 R a ^k \cdot \cos(\angle a k + \angle R)$	$\mathcal{L}\{f(t)\} = sF(s) - f(0)$
$\mathcal{Z}\{a^k\} = \frac{z}{z-a}, \bar{F}(z) = \frac{F(z)}{z}$	$\mathcal{Z}\{f(k+1)\} = zF(z) - zf(0)$
$\tau_i = \left \frac{1}{Re(p_i)}\right $ (costanti di tempo poli)	$\mathcal{L}\{\varepsilon(t)\} = \frac{1}{s} \quad \mathcal{Z}\{\varepsilon(t)\} = \frac{z}{z-1}$

Stabilità Spec(A) = {λ_i ∈ ℝ | p_A(λ_i) = 0} = autovalori A e = eig(A); [V, D] = eig(A)

	TEMPO CONTINUO (vedi Criterio di Routh)	TEMPO DISCRETO (vedi Criterio di Jury)	dominio
asintoticamente stabile	$\forall x_0 \in \mathbb{R}^n, x_{zi}(t) \text{ limitata}$	$\forall x_0 \in \mathbb{R}^n, x_{zi}(k) \text{ limitata}$	$ \lambda_i < 1 \forall i$
internamente stabile	$\forall x_0 \in \mathbb{R}^n, x_{zi}(t) \text{ limitata}$ $\lim_{t \rightarrow \infty} x_{zi}(t) = 0$	$\forall x_0 \in \mathbb{R}^n, x_{zi}(k) \text{ limitata}$ $\lim_{k \rightarrow \infty} x_{zi}(k) = 0$	$ \lambda_i \leq 1 \forall i$ $ \lambda_i = 1, \mu_g = 1$
BIBO stabile	$x_0 = 0$ $\forall u(t) \text{ limitato}$ $y_{zs}(t) \text{ limitato}$	$x_0 = 0$ $\forall u(k) \text{ limitato}$ $y_{zs}(k) \text{ limitato}$	$ p_i < 1 \forall i$ p_i poli del sistema
instabile	$\exists x_0 \in \mathbb{R}^n, x_{zi}(t) \text{ illimitata}$	$\exists x_0 \in \mathbb{R}^n, x_{zi}(k) \text{ illimitata}$	$\exists \lambda_i \lambda_i > 1 \vee \exists \lambda_i \lambda_i = 1, \mu_g > 1$

TD x(k)	TC x(t)	dominio
$X(z) = \sum_{k=0}^{\infty} x(k)z^{-k}$ Trasformata Zeta	$X(s) = \int_0^{\infty} x(t)e^{-st} dt$ Trasformata di Laplace	dominio trasformato

RAGGIUNGIBILITÀ (Controllabilità)

Possibilità di modificare lo stato a partire dall'ingresso.

$$M_R = [B \ AB \ \dots \ A^{n-1}B], b = \rho(B)$$

dim(X_R) = ρ(M_R) = r ≤ n sottospazio di raggiungibilitàdim(X_{NR}) = n - r sottospazio di non raggiungibilità

MATLAB®: Mr = ctrb(A,B)

$u(k) = -Kx(k) + ar(k)$	legge di controllo
$u(t) = -Kx(t) + ar(t)$	

Retroazione statica dallo stato (Hp: stato totalmente misurabile)

se $\rho(M_R) = n \rightarrow$ sistema **completamente raggiungibile** \rightarrow posso progettare la **legge di controllo** in modo da assegnare **arbitrariamente** gli autovalori.

MATLAB®: K = place(A, B, [...]) autovalori distinti

K = acker(A, B, [...]) autovalori uguali

Problema della regolazione

$$\bar{y} = \bar{r} \rightarrow TC \alpha = [-(C - DK)(A - BK)^{-1}B + D]^{-1} = 1/dcgain(H)$$

$$\bar{y} = \bar{r} \rightarrow TD \alpha = [(C - DK)[I - (A - BK)]^{-1}B + D]^{-1}$$

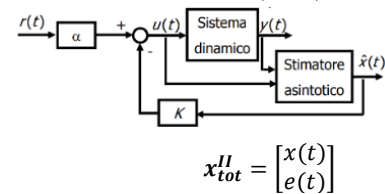
OSSERVABILITÀ (Rilevabilità)

Possibilità di stimare lo stato a partire dagli ingressi e dalle uscite.

$$M_O = [C \ CA \ \dots \ CA^{n-1}]^T, c = \rho(C)$$

dim(X_O) = ρ(M_O) = o ≤ n sottospazio di osservabilitàdim(X_{NO}) = n - o sottospazio di non osservabilità

MATLAB®: Mo = obsv(A,C)



se sistema completamente osservabile e raggiungibile

REGOLATORE DINAMICO
 per la proprietà di separazione:
 1. progetto matrice K
 2. progetto matrice L

$$A_{reg}^{II} = \begin{bmatrix} A-BK & -BK \\ 0_{n \times n} & A-LC \end{bmatrix} \quad B_{reg}^{II} = \begin{bmatrix} B \\ 0_{n \times 1} \end{bmatrix} \alpha$$

$$C_{reg}^{II} = [C-DK \quad -DK] \quad D_{reg}^{II} = [D]\alpha$$

Osservatore dello stato (Stimatore di Lüemberger)

se $\rho(M_R) = n \rightarrow$ sistema **completamente osservabile** \rightarrow posso progettare un osservatore asintotico dello stato.

Modello dello stimatore

$$\hat{x}'(t) = A\hat{x}(t) + Bu(t) - L(\hat{y}(t) - y(t))$$

$$\hat{y}(t) = C\hat{x}(t) + Du(t)$$

errore di stima

$$e(t) = \hat{x}(t) - x(t)$$

$$\dot{e}(t) = (A - LC)e(t)$$

MATLAB®: L = (place(A', C', [...]))'

n	a_0	a_1	a_2	\dots	a_{n-2}	a_{n-1}	a_n	<u>Tabella di Routh (TdR)</u>				
n	a_n	a_{n-1}	a_{n-2}	\dots	a_2	a_1	a_0	n	a_n	a_{n-2}	a_{n-4}	\dots
$n-1$	b_0	b_1	b_2	\dots	b_{n-2}	b_{n-1}		$n-1$	a_{n-1}	a_{n-3}	a_{n-5}	\dots
$n-2$	b_{n-1}	b_{n-2}	b_{n-3}	\dots	b_1	b_0		$n-2$	b_{n-2}	b_{n-4}	b_{n-6}	\dots
$n-2$	c_0	c_1	c_2	\dots	c_{n-2}			$n-3$	b_{n-3}	b_{n-5}	b_{n-7}	\dots
$n-2$	c_{n-2}	c_{n-3}	c_{n-4}	\dots	c_0			$n-3$	c_{n-3}	c_{n-5}	c_{n-7}	\dots
\dots	\dots	\dots	\dots	\dots	\dots	\dots	\dots	\dots	\dots	\dots	\dots	\dots
2	z_0	z_1	z_2					0	a_0	0	0	\dots
2	z_2	z_1	z_0									

Linearizzazione nell'intorno di un punto di equilibrio

(x̄, ū) | f(x̄, ū) = 0 punto di equilibrio

δx(t) = x(t) - x̄ perturbazione δx(k) = x(k) - x̄

Sistema linearizzato

$$\begin{cases} \delta \dot{x}(t) = \delta \dot{x}(k+1) = \left. \frac{\partial f(x, u)}{\partial x} \right|_{(\bar{x}, \bar{u})} \delta x + \left. \frac{\partial f(x, u)}{\partial u} \right|_{(\bar{x}, \bar{u})} \delta u \\ \delta y(t) = \delta y(k) = \left. \frac{\partial g(x, u)}{\partial x} \right|_{(\bar{x}, \bar{u})} \delta x + \left. \frac{\partial g(x, u)}{\partial u} \right|_{(\bar{x}, \bar{u})} \delta u \end{cases}$$

Grandezze sistema approssimato (̃) = (̃) + δ(*)

$$\delta A = \left. \frac{\partial f(x, u)}{\partial x} \right|_{(\bar{x}, \bar{u})} \quad \text{stabile TC } Re(\lambda_{i, \delta A}) < 0 \forall i \quad TD \quad |\lambda_{i, \delta A}| < 1 \forall i$$

Criteri di stabilità LTI

$$p(\lambda) = a_n \lambda^n + a_{n-1} \lambda^{n-1} + \dots + a_0$$

✓ Regola dei segni di Cartesio (condizione solo necessaria)

Asintoticamente Stabile \Rightarrow nessuna variazione di segno tra coefficienti consecutivi non nulli.

✓ Criterio di Routh (cond. necessaria e sufficiente)

Asintot. Stabile TC \Leftrightarrow Tutti gli elementi della prima colonna della TdR sono di segno concorde. **Compilazione TdR**

$$b_{n-2} = - \left| \begin{matrix} a_n & a_{n-2} \\ a_{n-1} & a_{n-3} \end{matrix} \right| / a_{n-1}, b_{n-4} = - \left| \begin{matrix} a_n & a_{n-4} \\ a_{n-1} & a_{n-5} \end{matrix} \right| / a_{n-1}, \dots$$

$$c_{n-3} = - \left| \begin{matrix} a_{n-1} & a_{n-3} \\ b_{n-2} & b_{n-4} \end{matrix} \right| / b_{n-2}, c_{n-5} = - \left| \begin{matrix} a_{n-1} & a_{n-5} \\ b_{n-2} & b_{n-6} \end{matrix} \right| / b_{n-2}, \dots$$

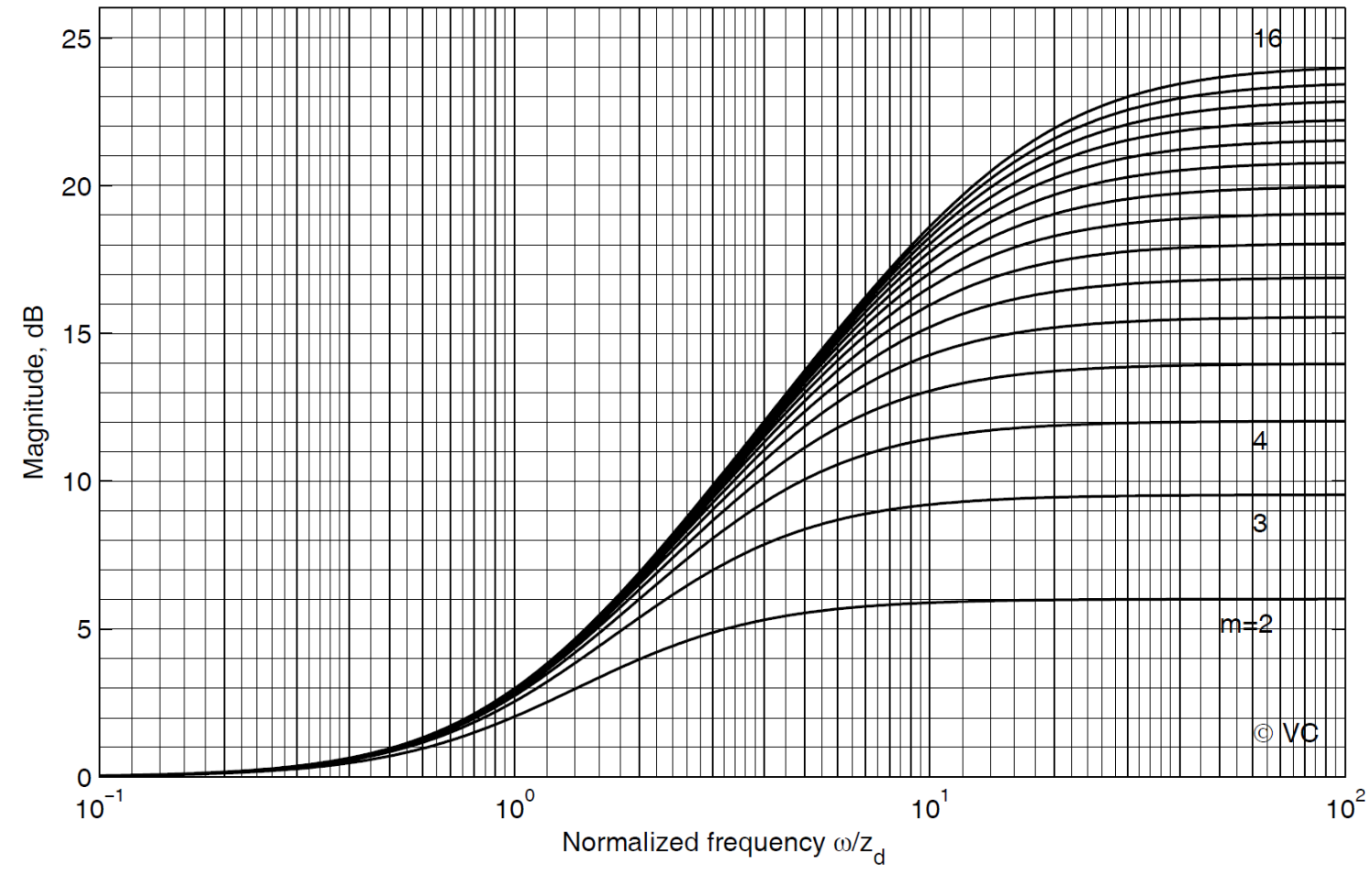
✓ Criterio di Jury (cond. necessaria e sufficiente)

Asintot. Stabile TD $\Leftrightarrow p(\lambda = 1) > 0, (-1)^n p(\lambda = -1) > 0, |a_n| > |a_0| (n=2)$ $|b_0| > |b_{n-1}|, |c_0| > |c_{n-2}|, \dots, |z_0| > |z_2| (n \geq 2)$

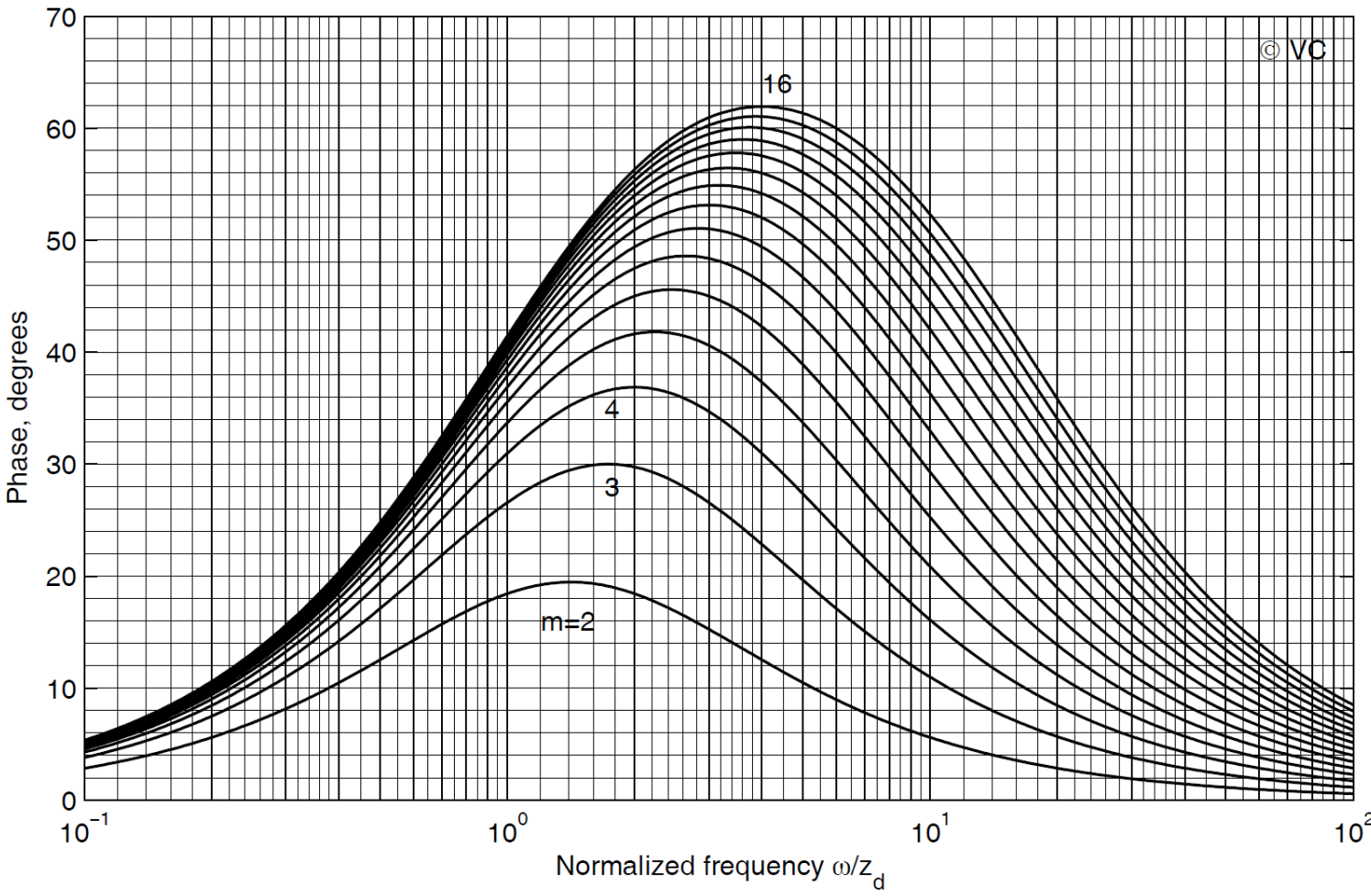
Compilare TdJ

$$b_0 = \left| \begin{matrix} a_0 & a_n \\ a_n & a_0 \end{matrix} \right|, b_1 = \left| \begin{matrix} a_0 & a_{n-1} \\ a_n & a_1 \end{matrix} \right|, \dots, c_0 = \left| \begin{matrix} b_0 & b_{n-1} \\ b_{n-1} & b_0 \end{matrix} \right|, c_1 = \left| \begin{matrix} b_0 & b_{n-2} \\ b_{n-1} & b_1 \end{matrix} \right|, \dots$$

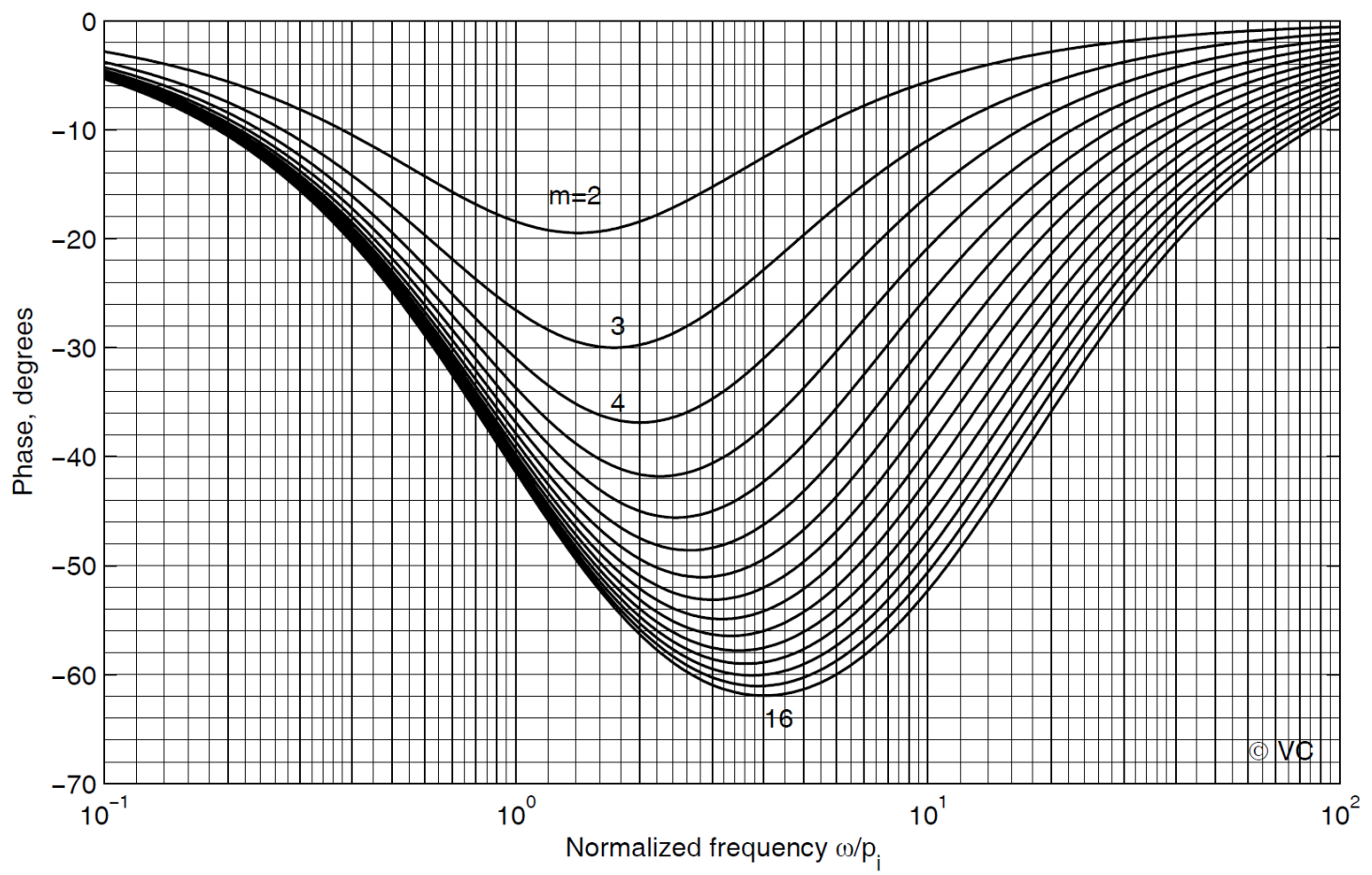
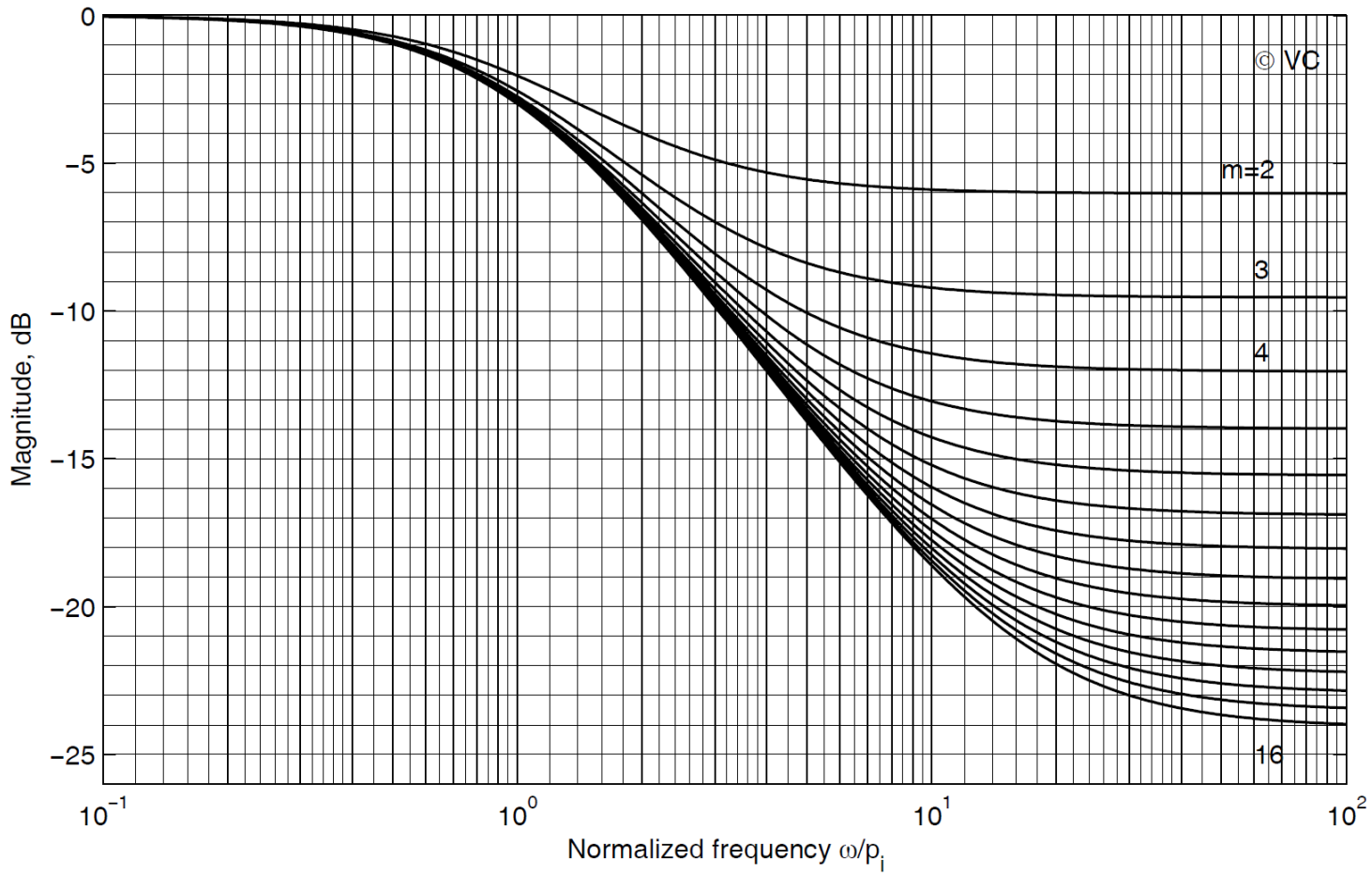
Phase LEAD network



0.



Phase LAG network



Zero network

